

安徽医科大学学报

Acta Universitatis Medicinalis Anhui

ISSN 1000-1492,CN 34-1065/R

# 《安徽医科大学学报》网络首发论文

题目: 皮质酮预处理对 LPS 激活小胶质细胞的调节作用及鸡豆黄素 A 的抑制作用

作者: 牛耕辰,王俊,张悦,尹艳艳

网络首发日期: 2025-07-07

引用格式: 牛耕辰,王俊,张悦,尹艳艳.皮质酮预处理对 LPS 激活小胶质细胞的调节

作用及鸡豆黄素 A 的抑制作用[J/OL]. 安徽医科大学学报.

https://link.cnki.net/urlid/34.1065.R.20250707.1343.002





网络首发:在编辑部工作流程中,稿件从录用到出版要经历录用定稿、排版定稿、整期汇编定稿等阶段。录用定稿指内容已经确定,且通过同行评议、主编终审同意刊用的稿件。排版定稿指录用定稿按照期刊特定版式(包括网络呈现版式)排版后的稿件,可暂不确定出版年、卷、期和页码。整期汇编定稿指出版年、卷、期、页码均已确定的印刷或数字出版的整期汇编稿件。录用定稿网络首发稿件内容必须符合《出版管理条例》和《期刊出版管理规定》的有关规定;学术研究成果具有创新性、科学性和先进性,符合编辑部对刊文的录用要求,不存在学术不端行为及其他侵权行为;稿件内容应基本符合国家有关书刊编辑、出版的技术标准,正确使用和统一规范语言文字、符号、数字、外文字母、法定计量单位及地图标注等。为确保录用定稿网络首发的严肃性,录用定稿一经发布,不得修改论文题目、作者、机构名称和学术内容,只可基于编辑规范进行少量文字的修改。

出版确认: 纸质期刊编辑部通过与《中国学术期刊(光盘版)》电子杂志社有限公司签约,在《中国学术期刊(网络版)》出版传播平台上创办与纸质期刊内容一致的网络版,以单篇或整期出版形式,在印刷出版之前刊发论文的录用定稿、排版定稿、整期汇编定稿。因为《中国学术期刊(网络版)》是国家新闻出版广电总局批准的网络连续型出版物(ISSN 2096-4188,CN 11-6037/Z),所以签约期刊的网络版上网络首发论文视为正式出版。

# 皮质酮预处理对 LPS 激活小胶质细胞的调节作用及鸡豆黄素 A 的抑制作用

牛耕辰 1,2, 王 俊 1, 张 悦 1, 尹艳艳 1

(1安徽医科大学药学科学学院药理学教研室, 合肥 230032;

<sup>2</sup>华威大学医学院,考文垂,英国 CV4 7AL)

摘要 目的 探讨皮质酮(CORT)预处理对脂多糖(LPS)激活小胶质细胞的调节作用及鸡 豆黄素 A(Bio A)对小胶质细胞活化的抑制作用。方法 用 MTT 法筛选出 LPS、CORT 和 Bio A 对 BV2 细胞的最适浓度;将 BV2 细胞分为 5 组: Control 组、CORT (50 nmol/L) 组、LPS(1 μg/mL)组、LPS(1 μg/mL)+ CORT(50 nmol/L)组、LPS(1 μg/mL)+ CORT (50 nmol/L) +Bio A (5 μmol/L) 组,除对照组外,各组先加入 CORT (50 nmol/L) 孵育 2 h, 然后各组加入相应浓度的 LPS(1 μg/mL)和 BioA(5 μmol/L)共同孵育 36 h; DCFH-DA 探针法测定活性氧(ROS)含量; Western blot 法测定炎性细胞因子、5-羟色胺转运体(5-HTT)、 糖皮质激素受体(GR)、盐皮质激素受体(MR)、NOD 样受体热蛋白结构域相关蛋白 3 (NLRP3)、凋亡相关斑点样蛋白(ASC)和半胱氨酸天冬氨酸蛋白1(Caspase-1)的蛋白 表达水平。**结果** 与 CORT(50 nmol/L)组和 LPS(1 μg/mL)组比较,CORT(50 nmol/L) + LPS(1 μg/mL)组的 BV2 细胞的活力增加,ROS 的含量更高,炎性细胞因子、NLRP3、 ASC 和 Caspase-1 蛋白表达水平增加(P<0.05); 与 CORT(50 nmol/L)+ LPS(1 µg/mL) 组比较, CORT (50 nmol/L) + LPS (1 μg/mL) + Bio A (5 μmol/L) 组的细胞活力降低, ROS 的含量下降,炎性细胞因子、NLRP3、ASC 和 Caspase-1 蛋白表达减少(P<0.05)。结论 小 剂量的 CORT 预处理可以促进 LPS 激活 BV2 细胞; Bio A 抑制经 CORT 预处理后 LPS 诱导 的 BV2 细胞活化,其机制可能与抑制 NLRP3 炎症小体的激活有关。

**关键词** 皮质酮; 脂多糖; 小胶质细胞; 鸡豆黄素 A; 活性氧; NLRP3 炎症小体中**图分类号**: R 285.5; R 364.5; R 977.6 文献标志码 A

# The role of corticosterone pretreatment on LPS-activated microglia and the inhibitory effect of Biochanin A

Niu Gengchen<sup>1,2</sup>, Wang Jun<sup>1</sup>, Zhang Yue<sup>1</sup>, Yin Yanyan<sup>1</sup>

(<sup>1</sup>Dept of Pharmacology, the School of Pharmaceutical Sciences, Anhui Medical University, Hefei

基金项目: 安徽省转化医学研究院科研基金项目(编号: 2021zhyx-C18); 安徽省自然科学基金项目 (编号: 1908085MH270)

作者简介: 牛耕辰, 男, 硕士研究生

尹艳艳,女,教授,硕士生导师,通信作者,E-mail: yinyanyan5678@126.com

**Abstract Objective** To investigate the regulatory effect of corticosterone (CORT) pretreatment on the activation of microglia by lipopolysaccharide (LPS) and the inhibitory effect of Biochanin A (Bio A) on microglia activation. Methods The MTT method was used to select the optimal concentrations for LPS, CORT and Bio A on BV2 cells; BV2 cells were divided into 5 groups: Control group, CORT (50 nmol/L) group, LPS (1 μg/mL) group, LPS (1 μg/mL) + CORT (50 nmol/L) group, and LPS (1 µg/mL) + CORT (50 nmol/L) + Bio A (5 µmol/L) group; Except for the control group, each group was first incubated with CORT (50 nmol/L) for 2 h, and then each group was co-incubated with the corresponding concentrations of LPS (1 µg/mL) and BioA (5 μmol/L) for 36 h; DCFH-DA probe method was used to detect reactive oxygen species (ROS) content; Western blot was used to detect the protein expression levels of inflammatory cytokines, 5-hydroxytryptamine(5-HTT), glucocorticoid receptor (GR), mineralocorticoid receptor (MR), NOD-like receptor family pyrin domain containing 3 (NLRP3), apoptosis-associated speck-like protein containing a CARD (ASC) and cysteine-aspartic protease 1 (Caspase-1) Results Compared with the CORT (50 nmol/L) and LPS (1 µg/mL) groups, cells in the CORT (50 nmol/L) + LPS (1 µg/mL) group showed increased cell viability, higher levels of ROS, and increased levels of inflammatory cytokines, NLRP3, ASC, and Caspase-1 protein expression (P<0.05); Compared with the CORT (50 nmol/L) + LPS (1 μg/mL) group, the CORT (50 nmol/L) + LPS (1 μg/mL) + Bio A (5 µmol/L) group showed decreased cell viability, decreased levels of ROS, and decreased protein expression of inflammatory cytokines, NLRP3, ASC and Caspase-1 proteins (P<0.05). Conclusion A low dose of CORT pretreatment reinforces LPS-induced BV2 cell activation; Bio A inhibits CORT-pretreated LPS-induced BV2 cell activation. The mechanism of which may be related to the inhibition of NLRP3 inflammasome activation.

**Key words** corticosterone; lipopolysaccharide; microglia; biochanin A; reactive oxygen species; NLRP3 inflammasome

**Fund programs** Research Project of Anhui Provincial Institute of Translational Medicine (No. 2021zhyx-C18); Natural Science Foundation of Anhui Province (No. 1908085MH270)

**Corresponding author** Yin Yanyan, E-mail: yinyanyan5678@126.com

帕金森病(Parkinson's disease, PD)的主要病理特征为黑质致密部多巴胺(dopamine, DA)能神经元损伤和路易小体的形成,其发病率随年龄增长而上升[1]。近年研究<sup>[2]</sup>表明,PD 患者常伴抑郁、焦虑、妄想等精神症状,严重影响生活质量。长期的慢性不可预见性温和应激(chronic unpredictable mind stress, CUMS)会使机体内皮质酮(corticosterone, CORT)水平升高,损伤脑区神经元,诱发抑郁,且能促进其他疾病发生。最新临床研究<sup>[3]</sup>显示,抑郁发生在 PD 之前,抑郁患者发展成为 PD 的可能性较无抑郁患者明显增加,提示抑郁或成为 PD 的独立危险因素。

鸡豆黄素 A(biochanin, Bio A)作为植物雌激素具有神经保护作用<sup>[4]</sup>,研究<sup>[5]</sup>表明,Bio A 可以减少炎症因子释放,抑制小胶质细胞的活化。本课题组前期实验<sup>[6]</sup>发现,CUMS 预处理后的模型组黑质部位小胶质细胞活化更明显,且 Bio A 可以抑制小胶质细胞的活化。然而,关于体外 CORT 预处理是否与 LPS 存在协同激活小胶质细胞的作用仍缺乏明确结论。基于此,本研究旨在观察 CORT 预处理对 LPS 诱导的小胶质细胞活化的调控作用,以及 Bio A 对该活化的干预效应。

## 1 材料与方法

#### 1.1 材料

- **1.1.1 细胞株** BV2 小胶质细胞株受赠于中国医学科学院北京协和医学院。
- Bio A、CORT、LPS、噻唑蓝(methylthiazolydiphenyl-tetrazolium bromide,MTT)(美国 Sigma 公司,货号:D2016、235135、L4516、M2128):DMEM 培养基(美国 Thermo Scientific 公司,货号:12491015);胎牛血清 FBS(杭州四季青公司,货号:13011-8611);活性氧检测试剂盒、一氧化氮(nitric oxide,NO)检测试剂盒、青霉素-链霉素溶液(江苏碧云天生物技术研究所,货号:S0033S、S0021S、C0222);鼠抗 β-肌动蛋白(β-actin)抗体(北京中杉金桥生物技术有限公司,货号:TA-09);聚偏二氟乙烯膜(polyvinylidene fluoride membrane,PVDF)(美国 Milliproe 公司,货号:IPVH00010);兔抗 5-羟色胺转运体(5-Hydroxytryptamine transporter,5-HTT)抗体、兔抗凋亡相关斑点样蛋白(apoptosis-associated speck-like protein containing a CARD,ASC)抗体(美国 Bioworld公司,货号:BS40767、BS80265);兔抗半胱氨酸天冬氨酸蛋白 1(cysteine-aspartic protease 1,Caspase-1)抗体、兔抗白介素-1β(interleukin-1β,IL-1β)抗体、兔抗肿瘤坏死因子-α(tumor necrosis factor-α,TNF-α)抗体、兔抗白介素-6(interleukin-6,IL-6)抗体(英国 abcam 公司,货号:ab207802、ab283818、ab183218、ab290735);兔抗 NOD 样受体热蛋白结构域相关蛋白 3(NOD-like receptor family pyrin domain containing 3,NLRP3)抗体、兔抗糖皮质

激素受体(glucocorticoid receptor, GR)抗体、兔抗盐皮质激素受体(mineralocorticoid receptor, MR) 抗体(美国 CST 公司, 货号: 15101、12041、58883)。

1.1.3 主要仪器 光学显微镜购自日本 Olympus 公司[型号: CX23LEDRF(S1C/S2)]; 电子分析天平购自上海天平仪器厂(型号: FA1004); 旋涡混合仪购自上海沪西分析仪器厂有限公司(型号: WH-2); 纯水机购自杭州惠邦净水设备有限公司(型号: HB-R/005); 精密 PH 计购自上海雷磁仪器厂(型号: PHSJ-4A); 转移电泳槽购自北京六一仪器厂(型号: DYY-II408); 化学发光成像系统购自上海欧翔科学仪器有限公司(型号: ChemiQ 4600); 全波长酶标仪购自美国 Molecular Device 公司(型号: SpctraMax190); Countstar 自动细胞计数仪购自睿钰生物科技有限公司(型号: IC1000)。

## 1.2 方法

- 1.2.1 小胶质细胞株培养 将 BV2 细胞置于 DMEM 培养基中(混合液含 1%的青-链霉素 以及 10%的 FBS 溶液),并放入 37 ℃、5% CO₂ 的恒温培养箱中,弃去原培养基,使用胰酶进行细胞消化处理。随后将消化后的细胞重悬并接种至新的培养瓶中,加入 6 mL 完全培养基,继续置于恒温培养箱内培养。培养期间,每 24~36 h 更换 1 次培养基,同时每日观察细胞形态及培养基颜色变化。
- 1.2.2 MTT 法筛选 LPS、Bio A 剂量 为了检测 LPS、Bio A 的浓度对细胞活力的影响,将 BV2 细胞以 1×10<sup>4</sup> 个/孔左右的密度种植于 96 孔板中,每孔培养基终体积为 200 μL,分组 如下:LPS(0、0.01、0.1、1、10、100 μg/mL)组和 Bio A (0、2.5、5、10、20、40 μmol/L)组,加入相对应的药物孵育 36 h 后,每孔再加入 20 μL 的 MTT(5mg/mL)溶液,继续培育 4 h。4 h 后,弃去培养液,每孔再加入 150 μL 的二甲基亚砜,振荡 10 min。使用酶标仪在 波长 490 nm 处测量各孔的吸光度值,至少进行 3 次以上的重复试验。
- **1.2.3** 不同浓度的 CORT 预处理 BV2 细胞的分组及处理 用 MTT 法确定了 LPS 刺激 BV2 细胞的适宜浓度后,为了检测 CORT 预处理对 BV2 细胞的影响,将 BV2 细胞分为 7 组,分别为 Control 组,LPS(1 μg/mL)组,CORT(25 nmol/L)+LPS(1 μg/mL)组,CORT(50 nmol/L)+LPS(1 μg/mL)组,CORT(100 nmol/L)+LPS(1 μg/mL)组,CORT(200 nmol/L)+LPS(1 μg/mL)组,CORT(400 nmol/L)+LPS(1 μg/mL)组。除对照组外,每组用相应浓度的 CORT 孵育 2 h 后,各组加入 LPS(1 μg/mL)孵育 36 h,用于检测 NO。
- **1.2.4** Bio A 对 CORT 预处理 BV2 细胞活化的作用实验分组及处理 本实验将 BV2 细胞分为 5 组: Control 组(不进行任何处理)、CORT(50 nmol/L)组、LPS(1 μg/mL)组、LPS(1 μg/mL)4 LPS(1 μg/mL)+CORT(50 nmol/L)4 LPS(1 μg/mL)+CORT(50 nmol/L)4 LPS(1 μg/mL)+CORT(50 nmol/L)

- 组。除对照组外,各组先加入 CORT (50 nmol/L) 孵育 2 h, 然后各组加入相应浓度的 LPS (1 μg/mL) 和 BioA (5 μmol/L) 共同孵育 36 h。
- **1.2.5** NO 的测定 将 BV2 细胞以 1×10<sup>4</sup> 个/孔左右的密度种于 96 孔板中培养 24 h, 当细胞 密度达 70%~80%左右时,根据分组,各孔加入相应的药物在 37 ℃培养箱中进行孵育,随 后使用 NO 检测试剂盒检测上清液中 NO 的含量,使用检测波长 540 nm 的酶联免疫检测仪测定各孔的 OD 值。
- 1.2.6 ROS 检测 将 BV2 细胞以 1×10<sup>5</sup> 个/孔左右的密度种于 24 孔板中并于 37 ℃培养箱培养 24h。各组加入相应的药物进行孵育,孵育结束后,吸出原培养基,每孔加入 200 μL DCFH-DA 工作液继续培养 30 min。使用倒置荧光显微镜检测细胞内荧光强度。
- Test 进行洗涤 3 次,每次 5 min,解育浓度为 1:1 000 的一抗(5-HTT、GR、MR、TNF-α、IL-1β、IL-6、ASC、Caspase-1、NLRP3 和 β-actin)并在摇床中摇晃过夜,取出孵育一抗 PVDF 膜用 TBST 进行洗涤 3 次,每次 5 min,用浓度为 1:5 000 的 HRP 标记羊抗兔二抗孵育 2 h,随后用 TBST 洗膜 3 次,最后将膜放在显影仪中曝光并保存。用 ImageJ 软件对蛋白条带进行 灰度值分析。
- **1.2.8** 统计学处理 所有实验数据以  $x \to x$ 表示,两组间差异分析采用 t 检验;多组之间的比较用单因素方差分析(ANOVA),再通过 LSD-t 检验进行组间两两事后比较。所有分析都采用 SPSS13.0 版本进行,P < 0.05 有统计学意义。

#### 2 结果

**2.1 不同浓度的 LPS、Bio A 对小胶质细胞的活力影响** 采用 MTT 法筛选 LPS 造模浓度和 Bio A 保护药物浓度,结果如图 1A,与 0  $\mu$ g/mL 相比,当 LPS 的浓度从 0.01~1  $\mu$ g/mL,实验组细胞的 MTT 值出现升高的趋势;当 LPS 浓度达到或超过 10  $\mu$ g/mL 时,实验组的MTT 检测值较对照组降低(t=2.28、4.44,P<0.05)。提示实验所需的适宜 LPS 造模浓度为 1  $\mu$ g/mL。此外,为了寻找合适的 Bio A 剂量,我们用 2.5~40  $\mu$ mol/L Bio A 处理 BV2 细胞。如图 1B,与 0  $\mu$ mol/mL 比较,当 Bio A 的浓度为 10  $\mu$ mol/L 时,细胞的活力下降但不明显(t=1.56,t>0.05);当 Bio A 浓度达到 20  $\mu$ mol/L 时,细胞的活力明显下降(t=2.82,t<0.05)。而浓度在 5  $\mu$ mol/L Bio A 对 BV2 细胞基本没有损伤,故选择 5  $\mu$ mol/L 的 Bio A 作为实验剂量。

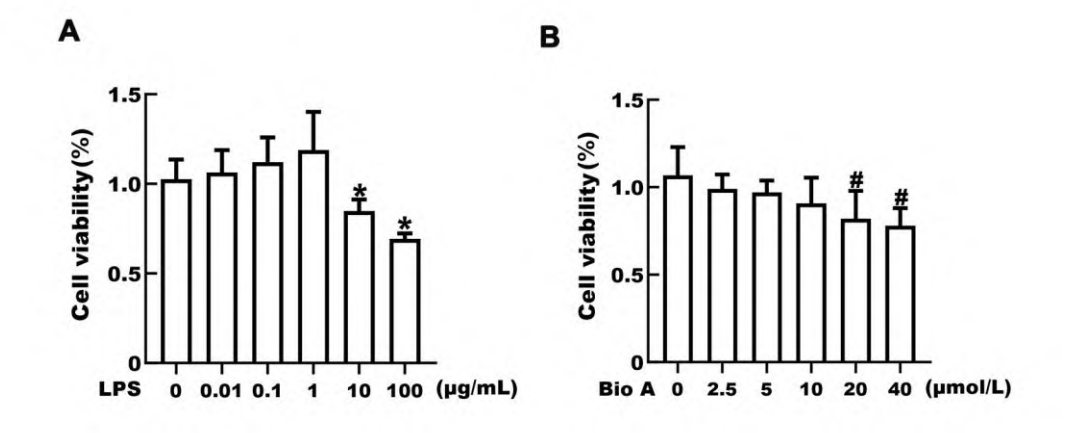


图 1 不同浓度的 LPS 和 Bio A 对 BV2 细胞活力的影响  $(x \pm s, n=3)$ 

Fig.1 The effect of various concentrations of LPS and Bio A on cell viability in BV2 microglia cell  $(\bar{x}\pm s, n=3)$ 

A: The effects of different concentrations of LPS on microglia cell activity; B: The effects of different concentrations of Bio A on microglia cell activity;  $^*P$ <0.05 vs 0  $\mu$ g/mL LPS;  $^\#P$ <0.05 vs 0  $\mu$ g/mL Bio A.

2.2 不同浓度的 CORT 预处理对 LPS 激活 BV2 细胞产生 NO 的影响及 Bio A 的抑制作用 NO 分泌增多是小胶质细胞活化的标志之一。本实验观察了不同浓度的 CORT 对 LPS 激活的 BV2 细胞 NO 分泌的影响。如图 2A 所示,与对照组比较,当 LPS 浓度为 1  $\mu$ g/mL 时,细胞上清液的 NO 含量明显增加,具有统计学意义(t=10.29,P<0.01);与 LPS 组相比较,CORT(50 nmol/L)预处理组,其细胞上清液的 NO 含量明显增加(t=8.72,P<0.01);而 CORT(200 nmol/L)预处理组,其细胞上清液的 NO 含量明显降低(t=15.53,t>0.01)。提示低浓度的 CORT 预处理可以促进 LPS 激活 BV2 细胞,故选择 CORT(50 nmol/L)作为预处理剂量。

为了观察 Bio A 对经 CORT 预处理后对 LPS 诱导 BV2 细胞活化的影响,采用 Griess 法检测各组细胞上清液中 NO 的含量。结果如图 2B 所示,与 CORT+LPS 组比较,Bio A+CORT+LPS 组 BV2 细胞中 NO 的产生降低(t=10.78,P<0.01)。实验结果表明低浓度 CORT 预处理可以促进 LPS 激活的小胶质细胞,而 Bio A 可以抑制小胶质细胞的活化。

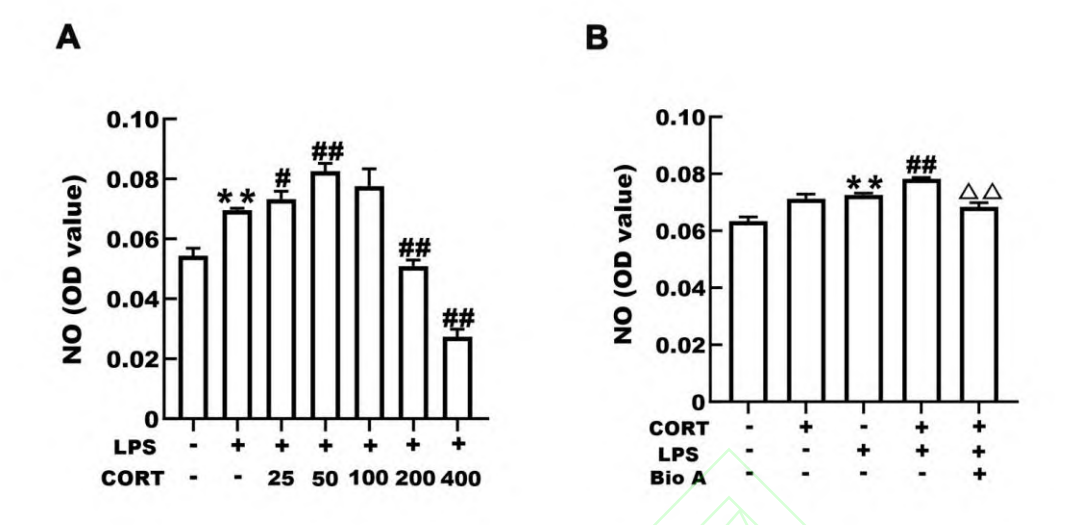


图 2 Bio A 对 LPS 诱导的 BV2 细胞产生 NO 的影响和对 CORT+ LPS 诱导的 BV2 细胞产生 NO 的影响( x±s, n=3)

Fig.2 The effects of Bio A on the production of NO in LPS-induced BV2 cells and the effects of Bio A on the production of NO in CORT+ LPS induced BV2 cells ( $\bar{x}\pm s$ , n=3)

A: The effects of CORT pretreatment on the production of NO in LPS-activated microglia; B: The effects of Bio A on the production of NO in CORT+LPS induce microglia; \*\*P<0.01 vs Control group; P<0.05, \*\*P<0.01 vs LPS group; P<0.01 vs CORT+LPS group.

**2.3 CORT 预处理对 LPS 诱导 BV2 细胞产生 ROS 的影响及 Bio A 的抑制作用** 为了确定 CORT 对 LPS 诱导的 BV2 细胞中 ROS 含量的变化情况以及 Bio A 的抑制作用,采用 DCFH-DA 探针法检测各组细胞内 ROS 的产生情况,如图 3 所示,与 Control 组比较,LPS 组的 DCF 荧光强度明显增加(t=7.94,P<0.05)。与 LPS 组比较,CORT 可明显增强 LPS 诱导的荧光强度(t=3.14,P<0.05)。然而,与 CORT+LPS 组比较,CORT+LPS + Bio A 组的 DCF 荧光强度明显减弱(t=4.07,P<0.05)。这些结果证实,CORT 预处理可促进细胞内 ROS 的产生,但 Bio A 对 CORT+LPS 组细胞内 ROS 的产生有明显的抑制作用。

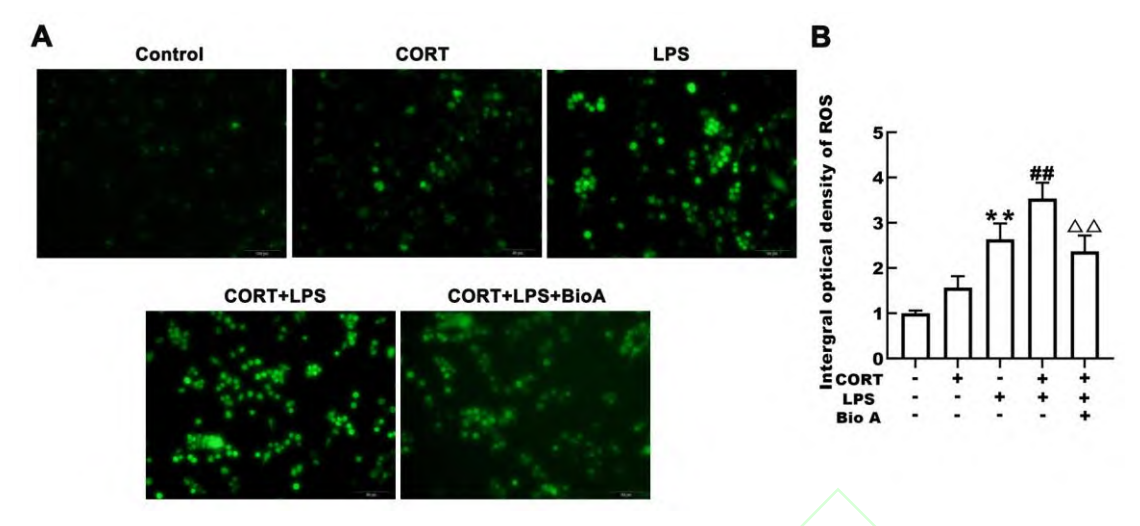


图 3 Bio A 对 CORT 和 LPS 联合激活的 BV2 细胞中 ROS 影响  $(x \pm 1)$   $(x \pm 1)$ 

Fig.3 The effects of Bio A on the ROS production in CORT and LPS co-activated BV2 cells ( $\bar{x}\pm s$ , n=3)

A: ROS-Immunofluorescence images  $\times$  200; B: The mean density of ROS production; \*\*P<0.01 vs control group; \*\*P<0.05 vs LPS group;  $\triangle P$ <0.01 vs CORT+LPS group.

2.4 Bio A 对 CORT 和 LPS 联合激活的 BV2 细胞中 5-HTT、GR 和 MR 蛋白表达的影响 采用通过 Western blot 检测 5-HTT 蛋白的表达,结果如图 4A 所示,与 Control 组比较,CORT 组或 LPS 组 5-HTT 蛋白的表达量均降低(t=4.33、7.14,P<0.05);与 LPS 组比较,LPS+CORT 组 5-HTT 蛋白的表达量进一步降低(t=2.84,P<0.05);与 LPS+CORT 组比较,Bio A 可明显增加 5-HTT 蛋白的表达量(t=13.20,t<0.05)。结果表明 CORT 联合 LPS 能够进一步抑制小胶质细胞中 5-HTT 蛋白表达,而 Bio A 可以增加小胶质细胞中 5-HTT 蛋白的表达。

此外,通过 Western blot 进一步检测了 GR 和 MR 蛋白的表达水平。结果如图 4B、4C 所示,与 LPS 组比较,CORT+LPS 组 GR 蛋白的表达量降低(t=2.82,P<0.05),MR 蛋白的表达量升高(t=2.90,P<0.05);而 Bio A 能明显促进 GR 蛋白的表达(t=4.54,P<0.05),抑制 MR 蛋白的表达(t=3.05,P<0.05)。结果表明,在 CORT 和 LPS 的共同作用下,BV2 细胞的 GR/MR 比值降低,而 Bio A 能改善这种异常情况。

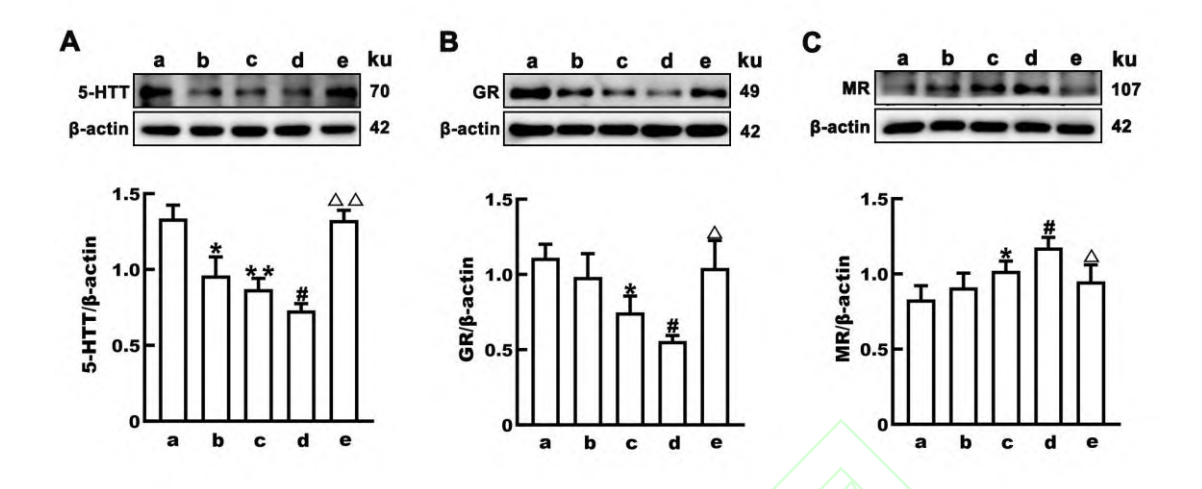


图 4 Bio A 对 CORT 和 LPS 联合激活的 BV2 细胞中 5-HTT、GR 和 MR 蛋白表达的 影响  $(\bar{x}\pm s, n=3)$ 

Fig.4 The effects of Bio A on the expression of 5-HTT, GR and MR in CORT and LPS co-activated BV2 cells  $(\bar{x}\pm s, n=3)$ 

A: 5-HTT protein expression; B: GR protein expression; C: MR protein expression; a: Control group; b: CORT (50 nmol/L) group; c: LPS (1  $\mu$ g/mL) group; d: CORT (50 nmol/L) + LPS (1  $\mu$ g/mL) group; e: CORT (50 nmol/L) +LPS (1  $\mu$ g/mL) + Bio A (5  $\mu$ mol/L) group; \*P<0.05, \*\*P<0.01 Vs control group; \*P<0.05 Vs LPS group;  $\Phi$ <0.05,  $\Phi$ <0.01 Vs CORT+LPS group.

2.5 Bio A 对 CORT 和 LPS 联合激活的 BV2 细胞中 TNF- $\alpha$ 、IL-1 $\beta$  和 IL-6 蛋白表达的影响 采用 Western blot 检测 CORT 对 LPS 诱导的小胶质细胞活化的促炎作用,以及 Bio A 是否能减少 CORT+LPS 诱导的 BV2 细胞中促炎因子的产生。如图 5 所示,与 Control 组比较,CORT 组 TNF- $\alpha$ 、IL-1 $\beta$  和 IL-6 蛋白表达量的变化不明显(t=0.75、2.26、0.19,均 P>0.05);但 LPS 组 TNF- $\alpha$ 、IL-1 $\beta$  和 IL-6 蛋白的表达量升高(t=2.91、5.65、2.78,均 P<0.05);与 LPS 组比较,CORT 预处理能够增加 LPS 诱导的小胶质细胞中 TNF- $\alpha$ 、IL-1 $\beta$  和 IL-6 的表达(t=2.79、2.82、2.78,均 P<0.05)。此外,与 CORT+LPS 组比较,加入 Bio A 能够抑制 CORT+LPS 组 TNF- $\alpha$ 、IL-1 $\beta$  和 IL-6 蛋白的表达(t=4.69、4.57、4.15,均 P<0.05)。提示 CORT 可促进 LPS 诱导的小胶质细胞中 TNF- $\alpha$ 、IL-1 $\beta$  和 IL-6 的表达,而 Bio A 可抑制 CORT+LPS 诱导的小胶质细胞中 TNF- $\alpha$ 、IL-1 $\beta$  和 IL-6 的表达,而 Bio A 可抑制 CORT+LPS 诱导的小胶质细胞中 TNF- $\alpha$ 、IL-1 $\beta$  和 IL-6 的表达。

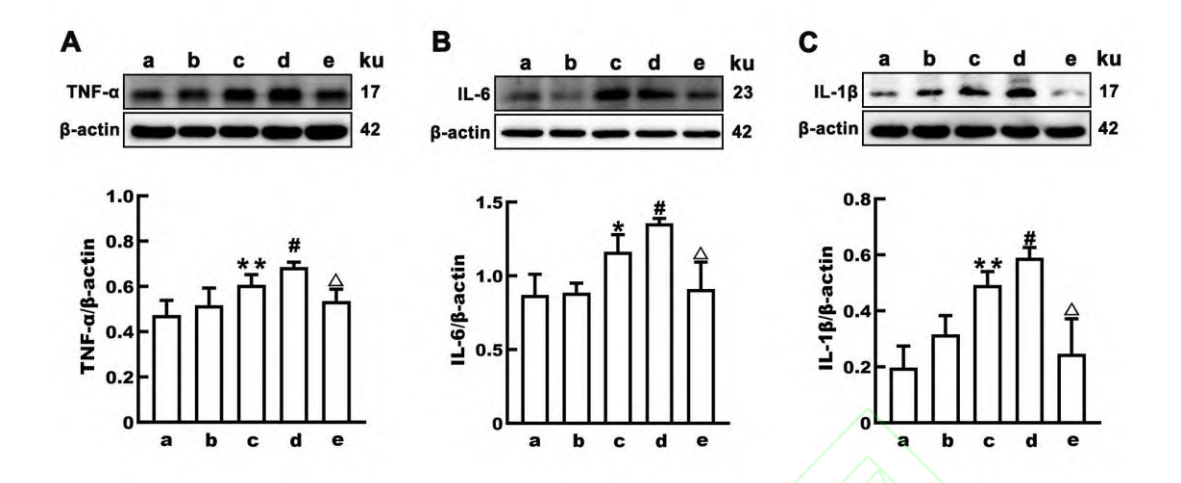


图 5 Bio A 对 CORT 和 LPS 联合激活的 BV2 细胞中 TNF- $\alpha$ 、IL-1 $\beta$  和 IL-6 蛋白表达的影响( $\bar{x}\pm s$ , n=3)

Fig.5 The effects of Bio A on TNF- $\alpha$ , IL-1 $\beta$  and IL-6 protein expression in CORT and LPS co-activated BV2 cells  $(x\pm s, n=3)$ 

A: TNF-α protein expression; B: IL-6 protein expression; C: IL-1β protein expression; a: Control group; b: CORT (50 nmol/L) group; c: LPS (1  $\mu$ g/mL) group; d: CORT (50 nmol/L) + LPS (1  $\mu$ g/mL) group; e: CORT (50 nmol/L) +LPS (1  $\mu$ g/mL) + Bio A (5  $\mu$ mol/L) group; \*P<0.05, \*\*P<0.01 Vs control group; \*P<0.05 Vs LPS group; P<0.01 Vs CORT+LPS group.

2.6 Bio A 对 CORT 和 LPS 联合激活的 BV2 细胞中 ASC、Caspase-1 和 NLRP3 蛋白表达的 影响 为了进一步研究 Bio A 的抗炎机制,选择用 Western blot 检测了 ASC、Caspase-1 和 NLRP3 蛋白的表达。如图 6 所示,与 Control 组比较,LPS 组 ASC、Caspase-1 和 NLRP3 蛋白的表达量增加(*t*=2.78、4.59、2.95,*P*<0.05);与 LPS 组比较,CORT+LPS 组的 ASC、Caspase-1 和 NLRP3 蛋白表达进一步增加(*t*=4.64、4.53、2.81,*P*<0.05);与 LPS+CORT 组比较,Bio A+LPS+CORT 组的 ASC、Caspase-1 和 NLRP3 蛋白表达降低(*t*=3.63、2.79、2.87,*P*<0.05)。结果表明,CORT 预处理可增加 LPS 激活的小胶质细胞中 ASC、Caspase-1 和 NLRP3 蛋白的表达,而加入 Bio A 可抑制激活的小胶质细胞中 ASC、Caspase-1 和 NLRP3 蛋白的表达,而加入 Bio A 可抑制激活的小胶质细胞中 ASC、Caspase-1 和 NLRP3 蛋白的表达。

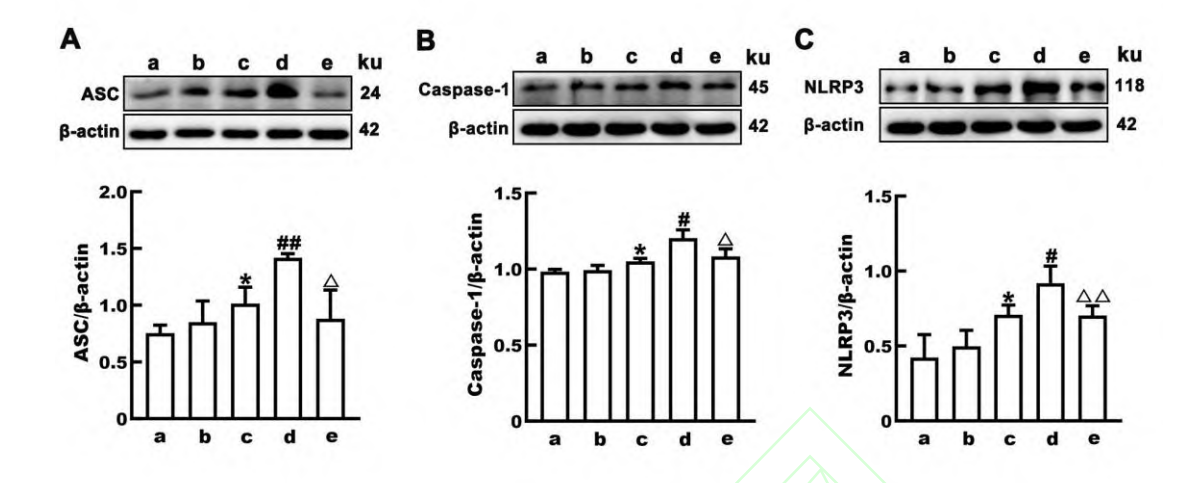


图 6 Bio A 对 CORT 和 LPS 联合激活的 BV2 细胞中 ASC、Caspase-1 和 NLRP3 蛋白表达的影响 ( x±s, n=3)

Fig.6 The effects of Bio A on ASC, Caspase-1 and NLRP3 protein expressions in CORT and LPS co-activated BV2 cells  $(\bar{x}\pm s, n=3)$ 

A: ASC protein expression; B: Caspase-1 protein expression; C: NLRP3 protein expression; a: Control group; b: CORT (50 nmol/L) group; c: LPS (1  $\mu$ g/mL) group; d: CORT (50 nmol/L) + LPS (1  $\mu$ g/mL) group; e: CORT (50 nmol/L) +LPS (1  $\mu$ g/mL) + Bio A (5  $\mu$ mol/L) group; \*P<0.05 P<0.05 P<0.05, P<0.05, P<0.05, P<0.05 P<0.07 P<0.08 group; P<0.09 P

# 3 讨论

神经炎症在 PD 的病理进程中起着重要的作用。小胶质细胞作为中枢神经系统内核心的免疫反应细胞,也是神经免疫炎症的关键介导者。当微环境中的各类因子出现动态改变,或是遭受免疫炎性因子等因素的刺激时,小胶质细胞能够快速进入激活状态。大量炎性介质及神经毒性物质可通过激活的小胶质细胞释放,可诱导神经元发生变性损伤乃至凋亡性死亡<sup>[7]</sup>。同时,在 PD 患者中,有不少患者常伴有抑郁等精神症状。有研究<sup>[8]</sup>表明,长期的慢性应激会使下丘脑-垂体-肾上腺 (hypothalamic-pituitary-adrenal, HPA) 轴功能亢进,导致 CORT 分泌增加、机体内分泌紊乱,进而引发抑郁。此外,最新临床研究<sup>[9]</sup>发现抑郁症可先于 PD 出现,抑郁患者发展为 PD 的风险显著高于无抑郁者,提示抑郁症可能成为 PD 发病的独立危险因素。此外,在机体中,正常水平的 ROS 在细胞信号传导、病原体防御和体内平衡起着关键作用。然而,大量的 ROS 会引起脂质过氧化和 DNA 损伤,从而影响细胞结构和功能。由 ROS 介导的氧化应激在神经退行性疾病的发生和发展中占据关键地位<sup>[10]</sup>。细胞内

ROS 信号通路可能是氧化应激和过度炎症反应的基础,过量的 ROS 会导致体内氧化应激水平升高,激活 NLRP3 炎症小体。NLRP3 炎症小体的核心组分为 NLRP3、ASC 及 Caspase-1, 三者通过构建 NLRP3-ASC-Caspase-1 级联信号网络,实现对促炎细胞因子成熟与释放过程的精准调控,从而影响 DA 的转运,导致 DA 丢失[11]。为了探究抑郁症对帕金森病影响的潜在途径,本研究采用 CORT 预处理联合 LPS 激活 BV2 细胞的实验模型,系统观察该处理对 NLRP3 炎症小体激活状态的调控效应,同时观察了 Bio A 对其的抑制作用,发现在CORT 的预处理后,LPS 激活小胶质细胞分泌的 ROS 和 NLRP3 炎症小体相关蛋白的表达明显增加,而 Bio A 可以降低 ROS 和 NLRP3 炎症小体相关蛋白的表达明

CUMS 会使糖皮质激素分泌增多,破坏 GR,进而抑制负反馈调节,最终引起免疫、神经等多功能的失调。研究<sup>[12]</sup>表明,长期应激导致抑郁的机制可能与机体内糖皮质激素水平升高,HPA 轴呈脱抑制状态有关。在 GR 低表达的转基因小鼠模型中,因糖皮质激素对 HPA 轴的负反馈抑制效应显著减弱,致使该轴系调控功能发生紊乱,进而诱导小鼠表现出典型的抑郁样行为表型<sup>[13]</sup>。同时,糖皮质激素受体下调会激活小胶质细胞,活化的小胶质细胞会释放多种炎症细胞因子,如:IL-1β,IL-6,TNF-α等。这些炎症因子又可以反过来进一步活化小胶质细胞,损伤神经细胞,诱导神经退行性疾病的发生<sup>[14]</sup>。本实验结果表明,CORT和 LPS 联合影响了 BV2 细胞中 5-HTT、GR和 MR蛋白的表达,而 Bio A 能促进 GR 并抑制 MR 的表达水平。同时,CORT预处理后增加了 LPS 激活小胶质细胞分泌的炎性细胞因子 IL-1β,IL-6和 TNF-α 的表达水平。而 Bio A 预处理后有效降低了 IL-1β,IL-6和 TNF-α 的表达水平。

上述实验结果表明,经 CORT 预处理的小胶质细胞可显著加剧 LPS 诱导的细胞活化程度及促炎细胞因子的表达水平;而 Bio A 能够有效拮抗 CORT 预处理后 LPS 诱导的小胶质细胞激活状态,其保护作用的潜在分子机制可能涉及对 NLRP3 炎症小体活性的抑制调控。

#### 参考文献

- [1] Liu Y, Liu T, Zhou Y, et al. Impeding the combination of astrocytic ASCT2 and NLRP3 by talniflumate alleviates neuroinflammation in experimental models of Parkinson's disease[J]. Acta Pharm Sin B, 2023, 13(2): 662-77. doi: 10.1016/j.apsb.2022.07.021.
- [2] Fornari Laurindo L, Aparecido Dias J, Cressoni Araújo A, et al. Immunological dimensions of

- neuroinflammation and microglial activation: exploring innovative immunomodulatory approaches to mitigate neuroinflammatory progression[J]. Front Immunol, 2024, 14: 1305933. doi: 10.3389/fimmu.2023.1305933.
- [3] Li L, Wang Z, You Z, et al. Prevalence and influencing factors of depression in patients with Parkinson 's disease[J]. Alpha Psychiatry, 2023, 24(6): 234-8. doi: 10.5152/alphapsychiatry.2023.231253.
- [4] 俞益桂, 薛海霞, 韩俊辉, 等. 鸡豆黄素 A 对 MPP+诱导 PC12 细胞凋亡的保护作用[J]. 安徽医科大学学报, 2020, 55(8): 1204-8. doi: 10.19405/j.cnki.issn1000-1492.2020.08.011.
- [4] Yu Y G, Xue H X, Han J H, et al. The protective effects of Bioch A on MPP<sup>+</sup> induced PC12 cell apoptosis[J]. Acta Univ Med Anhui, 2020, 55(8): 1204-8. doi: 10.19405/j.cnki.issn1000-1492.2020.08.011.
- [5] 韩俊辉,杨 丽, 俞益桂,等. 鸡豆黄素 A 抑制血管紧张素 II 诱导的小胶质细胞活化及 其机制的研究[J]. 中国药理学通报, 2020, 36(8): 1117-23.
- [5] Han J H, Yang L, Yu Y G, et al. BiochA inhibits Ang II-induced microglial activation and its mechanism[J]. Chin Pharmacol Bull, 2020, 36(8): 1117-23.
- [6] Kong H, Yang L, He C, et al. Chronic unpredictable mild stress accelerates lipopolysaccharide-induced microglia activation and damage of dopaminergic neurons in rats[J]. Pharmacol Biochem Behav, 2019, 179: 142-9. doi: 10.1016/j.pbb.2019.01.004.
- [7] Lee S J, Wang C, Hooker J. Microglia matters: visualizing the immune battle in Parkinson's disease[J]. J Clin Invest, 2025, 135(12): e192919. doi: 10.1172/JCI192919.
- [8] Yan Z, Yang F, Sun L, et al. Role of gut microbiota-derived branched-chain amino acids in the pathogenesis of Parkinson's disease: An animal study[J]. Brain Behav Immun, 2022, 106: 307-21. doi: 10.1016/j.bbi.2022.09.009.
- [9] Zhao X, Li L, Ma X, et al. The role of immune and inflammatory-related indicators in cognitive dysfunction and disease severity in patients with Parkinson's disease[J]. J Neural Transm (Vienna), 2024, 131(1): 13-24. doi: 10.1007/s00702-023-02704-8.
- [10] Heidari A, Yazdanpanah N, Rezaei N. The role of Toll-like receptors and neuroinflammation in Parkinson 's disease[J]. J Neuroinflammation, 2022, 19(1): 135. doi: 10.1186/s12974-022-02496-w.
- [11] Wang T, Shi C, Luo H, et al. Neuroinflammation in Parkinson's Disease: triggers,

- [12] Palumbo M L, Prochnik A, Wald M R, et al. Chronic stress and glucocorticoid receptor resistance in asthma[J]. Clin Ther, 2020, 42(6): 993-1006. doi: 10.1016/j.clinthera.2020.03.002.
- [13] Feng L S, Wang Y M, Liu H, et al. Hyperactivity in the hypothalamic-pituitary-adrenal axis: an invisible killer for anxiety and/or depression in coronary artherosclerotic heart disease[J]. J Integr Neurosci, 2024, 23(12): 222. doi: 10.31083/j.jin2312222.
- [14] Almeida Á M A N, Santos C C D, Takahashi D, et al. The biflavonoid agathisflavone regulates microglial and astrocytic inflammatory profiles *via* glucocorticoid receptor[J]. Molecules, 2025, 30(5): 1014. doi: 10.3390/molecules30051014.